

WOJCIECH MILL
INSTYTUT KSZTAŁTOWANIA
ŚRODOWISKA ODDZ. KATOWICE

ADAM WORSZTYNOWICZ
INSTYTUT KARBOCHEMII
GŁÓWNY INSTYTUT GÓRNICTWA

JEDNOWYMIAROWY MODEL ZMIAN STĘŻEŃ ZAWIESIN W RZECIE W OKRESIE WEZBRANIA WODY

Streszczenie. W pracy przedstawiono model zmian stężeń i ładunków zawiesin w rzece w okresie wezbrania wody. Opisano procedury obliczeniowe, oraz przedstawiono przykład numeryczny oparty na obserwowanym wezbraniu wody w rzece Wiśle.

1. Wstęp

Prawidłowe funkcjonowanie zbiorników wodnych, przeznaczonych do zaopatrywania w wodę do picia, może być zagrożone głównie przez eutrofizację wody, oraz przez jej nadmierne zmętnienie wskutek wprowadzenia do zbiornika dużych ładunków zawiesin w okresie wezbrania wody w rzece zasilającej zbiornik. W przeciwieństwie do procesu eutrofizacji, zmętnienie wody zbiornika wskutek wezbrania wody w dopływie następuje w krótkim czasie. Zachodzi więc potrzeba wczesnego ostrzegania obsługi ujęć wodnych i stacji uzdatniania wody przed gwałtownym pogorszeniem się warunków eksploatacji wody ze zbiornika.

Na przykładzie zbiornika Goczałkowice, przeznaczonego do zaopatrywania w wodę do picia Górnośląskiego Ośrodka Przemysłowego, opracowano metodę wyznaczania wielkości ładunku zawiesin wprowadzanych do zbiornika przez rzekę Wisłę zasilającą ten zbiornik. Metoda polega na matematycznej symulacji zmian stężeń i ładunków zawiesiny transportowanej przez Wisłę, w okresie wezbrania wody na odcinku Skoczów - ujście do zbiornika.

2. Charakterystyka obiektu badań

Obiektem badań jest odcinek rzeki Wisły od mostu drogowego w Skoczowie do mostu drogowego w Drogomyslu, który jest ostatnią przekrojem rzeki Wisły przed jej ujściem do zbiornika - nie objętym wpływem cofki zbiornika w okresie wyższych przepływów. Długość odcinka rzeki wynosi 9,2 km, a jego koryto jest uregulowane ze spadkiem dna skorygowanym 12 progami o średniej, projektowej wysokości 0,6 m. Rzeczywista wysokość progów w chwili obecnej została wyraźnie obniżona wskutek zamulenia.

W Skoczowie istnieje posterunek wodowskazowy IMGW z limnigrafem. W Drogomyślu zainstalowano własny punkt wodowskazowy. W obydwu przekrojach prowadzone są obserwacje stanów wody i pobory próbek wody w okresie wezbrań.

3. Założenia do konstrukcji modelu

Sposób opisu transportu zawieszin w rzekach zależy w głównej mierze od wielkości i zmienności ładunków zawieszin na wejściu do rozważanego układu, oraz od warunków hydraulicznych transportu zawieszin. W okresie wezbrań wody mogą ukształtować się dwa rodzaje warunków transportu zawieszin:

- a/ zmienny dopływ masy zawieszin do rozważanego odcinka rzeki i zmienne warunki hydrauliczne. Taka sytuacja ma miejsce w przypadku gwałtownych, krótkotrwałych wezbrań wody,
- b/ ustalony dopływ masy zawieszin i zmienne warunki hydrauliczne, co ma miejsce w przypadku długotrwałych wezbrań wody, kiedy po stosunkowo krótkim czasie ustala się wielkość transportowanego ładunku zawieszin na pewnym w przybliżeniu niezmiennym poziomie, mimo wyraźnej zmienności warunków hydraulicznych.

Prezentowany model matematyczny opracowano dla warunków opisanych w punkcie b/. Symulacja transportu zawieszin dla warunków opisanych w punkcie a/ jest przedmiotem obecnie prowadzonych prac.

Rozważa się rozprzestrzenianie wzdłużne całej masy zawieszin transportowanej przez strumień wody, a więc sumy zawieszin pochodzących ze źródeł zewnętrznych i z erozji koryta rzeki.

Praktyczny aspekt pracy, którym jest ostrzeżenie ujęć wodnych na zbiorniku Goczałkowice, narzuca rozważanie rozprzestrzeniania się zawieszin w kierunku wzdłużnym odcinka rzeki zasilającego zbiornik.

Dzięki posterunkowi IMGW w Skoczowie istnieje możliwość kontroli wezbrań wody i ładunków zawieszin. Sygnał obserwowany w Skoczowie może być przekazany z wyprzedzeniem do ujęć wodnych na zbiorniku.

Przyjmując, że w okresie wezbrania wody, któremu towarzyszy wysoka turbulencja przepływu, cząstki zawieszin utrzymywane są w zawieszeniu, jako teoretyczną podstawę transportu zawieszin przyjęto proces wzdłużnej dyspersji masy. Założenie to wynika z analogii wykazanej przez Graf-a[1].

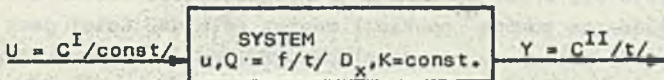
Przyjęte założenia do konstrukcji modelu można sformułować następująco:

- rozważany jest transport zawieszin w okresie występowania wezbrań wody,
- za teoretyczną podstawę transportu zawieszin przyjmuje się proces wzdłużnej dyspersji masy w strumieniu wody,
- efekt działania progów w korycie rzeki uwzględnia się w wielkości szorstkości koryta,

- zakłada się jednowymiarowy, dyspersyjny transport zawieszin, nieustalony, z uwagi na zmienne w czasie warunki hydrauliczne przepływu,
- założono, że wskutek lokalnych zakłóceń przepływu możliwy jest zanik masy zawieszin w trakcie ich transportu.

4. Konstrukcja modelu

Model, symulujący sformułowany powyżej proces transportu zawieszin, można przedstawić w notacji używanej przez Box'a i Jenkins'a [2] następująco:



- gdzie: U - sygnał wejściowy,
 Y - sygnał wyjściowy,
 C^I - stężenie zawieszin na wejściu,
 C^{II} - stężenie zawieszin na wyjściu,
 u - wzdłużna prędkość adwekcyjna wody,
 Q - natężenie przepływu wody,
 D_x - współczynnik dyspersji wzdłużnej,
 K - stała szybkości zaniku masy zawieszin.

Matematyczna postać modelu jest następująca:

$$D_x \frac{d^2 C}{dx^2} - u \frac{dC}{dx} - K \cdot C = 0 \quad /1/$$

gdzie:
 x - współrzędna wzdłużna strumienia.

Pozostałe oznaczenia jak wyżej.

Dla modelu opracowano dwie procedury obliczeniowe, z których jedna wyznacza propagację fali wezbraniowej, a druga czasowe i wzdłużne zmiany stężeń zawieszin.

4.1. Procedura propagacji fali wezbraniowej

Procedura ta oparta jest na metodzie zakładającej odkształcenie fali wskutek dyfuzji. Autorem tej metody jest Hayami [3], który wychodząc z równań ciągłości i pędu, przy pominięciu w nich składników inercyjnych, sformułował następujące liniowe równanie dyfuzji:

$$\frac{\partial C}{\partial t} = K_x \frac{\partial^2 C}{\partial x^2} - \bar{u} \frac{\partial C}{\partial x} \quad /2/$$

w którym:

Q - natężenie przepływu, $m^3 \cdot s^{-1}$,

t - czas, s ,

x - współrzędna wzdłużna strumienia, m ,

K_x - współczynnik dyfuzji fali, $m^2 \cdot s^{-1}$,

\bar{u} - średnia prędkość adwekcyjna fali, $m \cdot s^{-1}$.

Powyższe równanie zostało z powodzeniem zweryfikowane w praktyce dla liczb Froude'a mniejszych od 0,5. Dla rzeki Wisły na odcinku Skoczów - Drogomyśl liczba Froude'a wynosi 0,409, a więc warunek stosowalności równanie /2/ jest spełniony.

Stosując analogię do teorii układów liniowych proponowaną funkcję wyjścia układu, tj. hydrogram fali w końcowym przekroju $Q_0/x, t/$, uzyskuje się przez powiązanie funkcji wejścia układu z funkcją odpowiedzi układu za pomocą operacji zwanej splotem. Splot jest operacją opartą na założeniu, że dowolny sygnał wejściowy, w naszym przypadku $Q_D/Q, t/$, może być traktowany jako suma ciągu kolejnych impulsów. Aby wyznaczyć całkowitą wartość odpowiedzi $Q_0/x, t/$ w danej chwili t , wywołaną przez sygnał ciągły $Q_D/Q, t/$, należy zsumować wszystkie odpowiedzi wywołane elementarnymi impulsami występującymi w chwili t , czyli należy scałkować wyrażenie:

$$Q_0/x, t/ = \int_{t_1 = -\infty}^{t_1 = t} Q_D/Q, t-t_1/ \cdot I/x, t_1/ dt_1 \quad /3/$$

gdzie:

$Q_0/x, t/$ - czasowa funkcja natężenia przepływu w punkcie odległym o x od przekroju początkującego odcinek rzeki, $m^3 \cdot s^{-1}$,

$Q_D/Q, t/$ - czasowa funkcja natężenia przepływu w przekroju początkującym odcinek rzeki $x = 0$, $m^3 \cdot s^{-1}$,

$I/x, t/$ - czasowa funkcja odpowiedzi impulsowej w punkcie x .

Funkcja impulsu jednostkowego dla odcinka kanału jednorodnego ma następującą postać:

$$I/x, t/ = \frac{x}{4\pi K_x t^{3/2}} \exp \left[-\frac{\bar{u} \cdot t - x \bar{u}^2}{4 K_x t} \right] \quad /4/$$

Oznaczenia jak w równaniu /2/.

Za pomocą równań /3/ i /4/ wyznacza się odpowiedź układu na jednostkowy sygnał wejściowy. Chcąc uzyskać sumaryczny hydrogram fali wezbraniowej w przekroju końcowym badanego odcinka rzeki, należy zsumować wszystkie odpowiedzi układu na jednostkowe sygnały wejściowe, tj. jednostkowe natężenia przepływu w przekroju początkowym:

$$Q_0/x, t/ = \sum_{i=0}^M /Q_{0,i+1}/ \int_0^{t-1 \Delta t} \frac{L}{4 K_x t_1^{3/2}} \exp \left[- \left[\frac{u \cdot t_1 - L/2}{4 K_x t_1} \right]^2 \right] dt_1 \quad /5/$$

gdzie:

L - całkowita długość odcinka rzeki, m,

$$M = \min \text{Int} \left[\frac{t}{\Delta t} \right] - 0,01/, \quad N-1, \quad /6/$$

Δt - przyrost czasu, s,

N - liczba przyrostów czasowych.

Pozostałe oznaczenia jak w równaniach poprzednich.

4.2. Procedura wyznaczania transportu zawiesin

Ogólne równanie transportu zawiesin /1/ ma dla warunku początkowego:

$$C = C_0 \text{ dla } x = 0$$

następującą postać:

$$\frac{C/x/}{C_0} = \frac{4 a \exp \left[-\frac{u \cdot L}{20 x} \right]}{/1+a/2 \exp \left[\frac{a}{2} \frac{u \cdot L}{x} \right] - /1-a/2 \exp \left[-\frac{a}{2} \frac{u \cdot L}{x} \right]} \quad /7/$$

$$a = \left[1 + 4 K \cdot \frac{L}{u} \cdot \frac{D_x}{u \cdot L} \right]^{1/2} \quad /8/$$

gdzie:

C/x/ - stężenie zawiesin w przekroju x, g.m⁻³,

D_x - wzdłużny współczynnik dyspersji zawiesin, m².s⁻¹,

C₀ - stężenie zawiesin w przekroju x = 0, g.m⁻³,

L - całkowita długość odcinka rzeki, m,

u - średnia prędkość adwekcyjna, m.s⁻¹,

K - współczynnik szybkości zaniku zawiesin w odcinku rzeki, s⁻¹,

t₁ - średni czas przepływu wody przez badany odcinek rzeki, s.

Ponieważ z uwagi na odbiornik zawiesin, tj. zbiornik Goczalkowice, istotniejsza jest informacja o wprowadzanej masie zawiesin niż o stężeniach, opracowano procedurę obliczenia ładunków zawiesin.

Mimo założenia o stałości stężeń zawiesin w przekroju początkowym odcinka rzeki w czasie trwania wezbrania, ładunek zawiesin w przekroju końcowym będzie zmienny w czasie z uwagi na jego związek z natężeniem

przepływu, którego zmiany mają charakter dynamiczny. Ładunki zawiesin obliczono według następującego wzoru:

$$t_0/t = \sum_{i=0}^{\text{Int}(-\frac{t}{\Delta t})} Q_0 / i. t / C / i. \Delta t / \Delta t \quad /9/$$

w którym:

Δt - przyrost czasowy, godz.,

$Q_0 / i, \Delta t /$ - natężenie przepływu obliczane dla kolejnych przyrostów czasowych według równania /5/,

$C / i. \Delta t /$ - stężenie zawiesin obliczane dla kolejnych przyrostów czasowych według równań /7/ i /8/.

5. Przykład numeryczny:

W oparciu o wyniki pomiarów fali wezbraniowej, obserwowanej w dniach 23-25.09.1984 r. w badanym odcinku, rzeki Wisły, wyznaczono wartości parametrów doświadczalnych modelu, tj. K_x , D_x i K .

Przy użyciu maszyny cyfrowej przeprowadzono obliczenia propagacji fali wezbraniowej i ładunków zawiesin w rzece Wiśle na odcinku Skoczów-Drogomyśl.

Dane wejściowe do obliczeń były następujące:

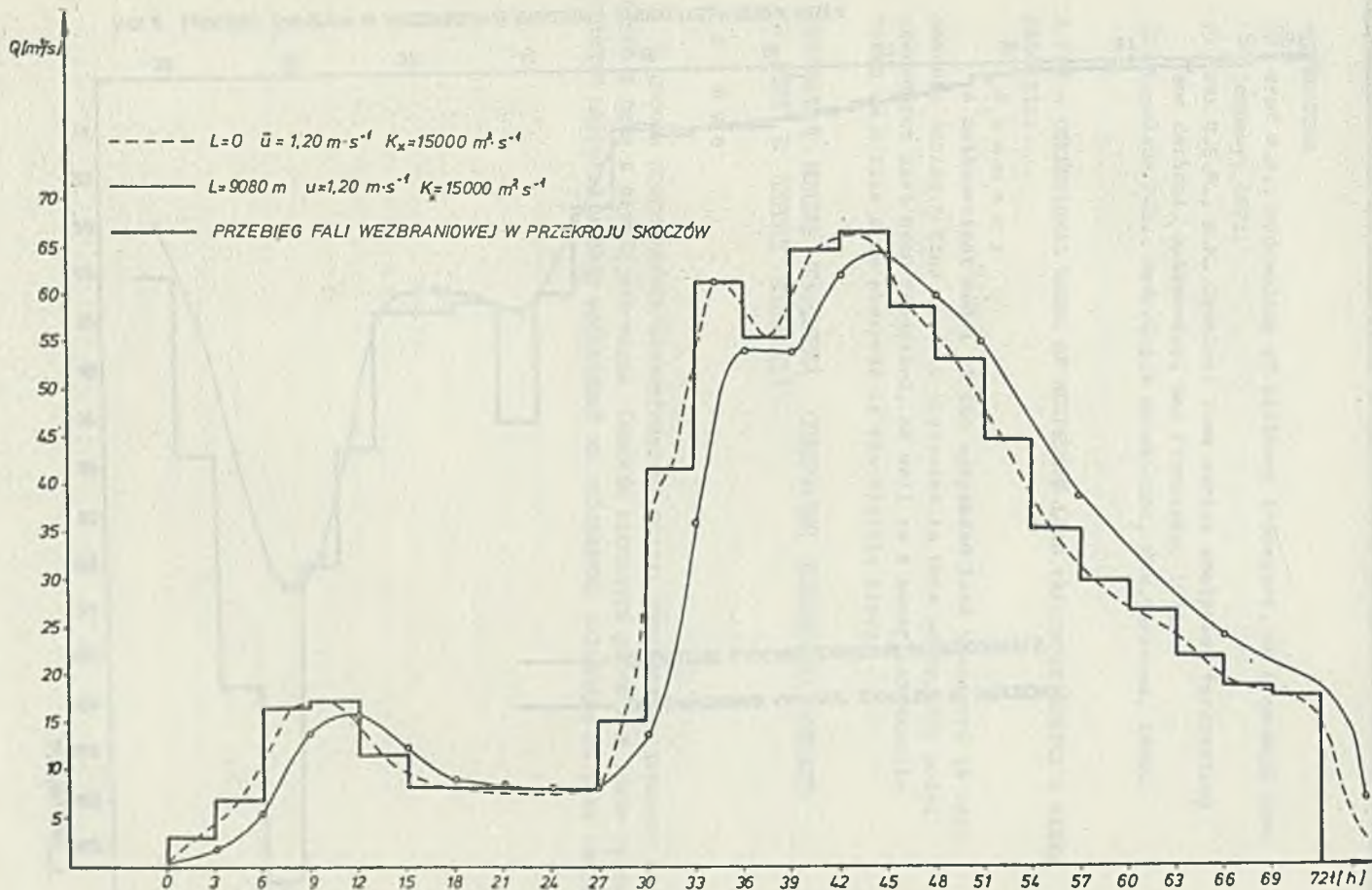
$$\begin{aligned} t &= 3 \text{ godziny} \\ L &= 9080 \text{ m} \\ K_x &= 15000 \text{ m}^2 \cdot \text{s}^{-1} \\ \bar{u} &= 1,2 \text{ m} \cdot \text{s}^{-1} \\ D_x &= 4,74 \cdot 10^6 \text{ m}^2 \cdot \text{s}^{-1} \\ K &= 0,01 \text{ godz.}^{-1} \end{aligned}$$

Wyniki obliczeń propagacji fali wezbraniowej przedstawiono na rys.1. Obliczony hydrogram przepływu w przekroju Drogomyśl wykazuje ok. 1-godzinne opóźnienie w stosunku do czasu przejścia fali w przekroju Skoczów. Kształt fali uległ oczekiwanemu spłaszczeniu, a uzyskane wartości natężeń przepływu uznano za realne, zważywszy stosunkowo niewielką długość badanego odcinka rzeki Wisły.

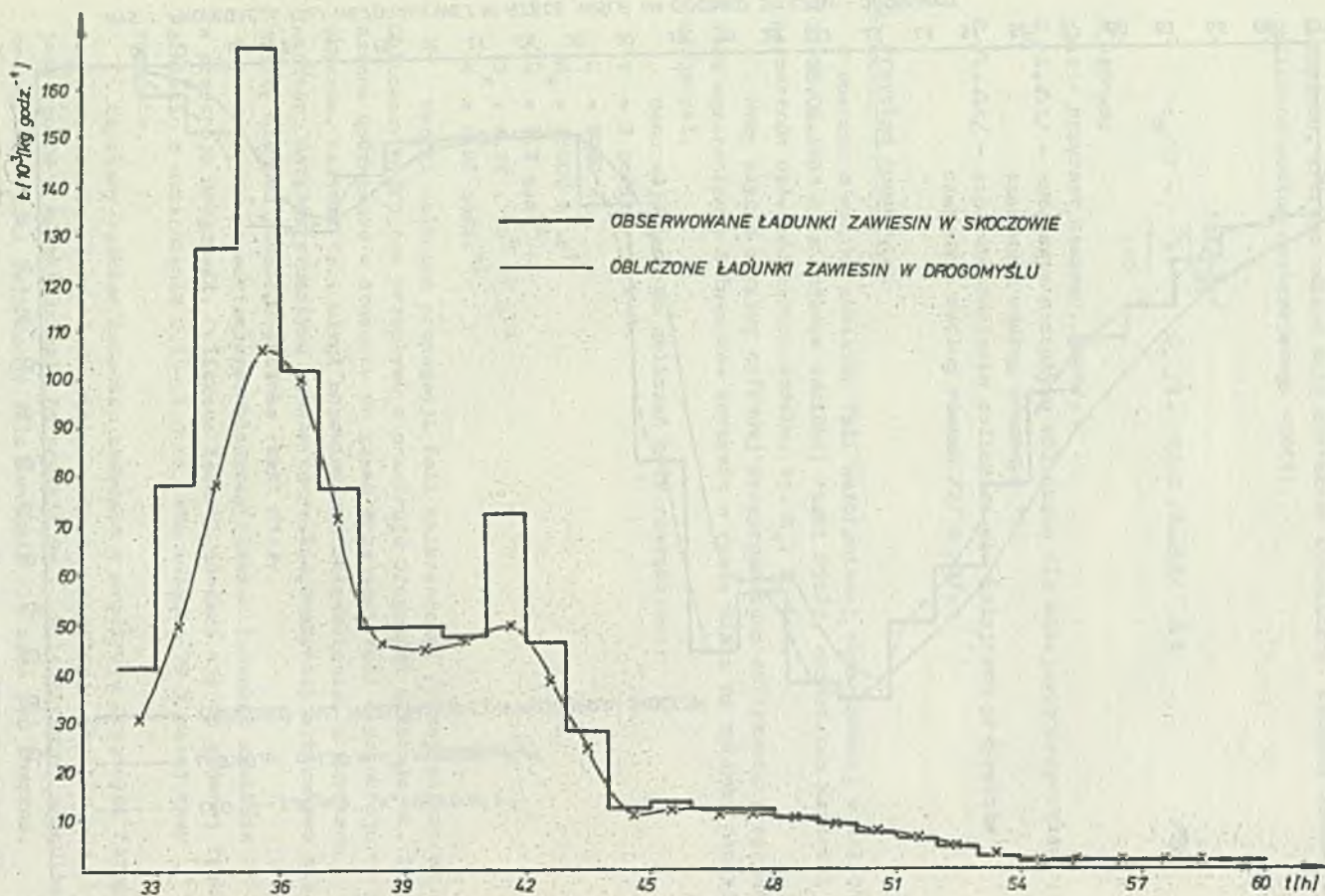
Na rys.2 przedstawiono obliczony rozkład ładunków zawiesin w przekroju Drogomyśl. Obliczone ładunki odnoszą się do głównej frakcji zawiesin o uziarnieniu 0,1 - 1,0 mm, stanowiącej 79 % całej masy zawiesin.

Uzyskany rozkład ładunków zawiesin w przekroju Drogomyśl różni się nieznacznie od rozkładu obserwowanego w przekroju Skoczów, co jest zgodne z oczekiwaniami. Na krótkim 9-kilometrowym, uregulowanym odcinku rzeki deformacja fali zawiesin nie może być znaczna.

W chwili obecnej w ramach Programu Rządowego PR7 Kierunek 01 trwają prace nad pełną weryfikacją przedstawionego modelu.



RYS.1 PROPAGACJA FALI WEZBRANIOWEJ W RZECIE WIŚLE NA ODCINKU SKOCZÓW - DROGOMYSŁ



RYS.2 ŁADUNKI ZAWIESIN W PRZEKROJACH SKOCZÓW I DROGOMYŚL - RZĘKA WISŁA

LITERATURA

- [1] Graf W.H.: Hydraulics of sediment transport, Mc Graw-Hill Book Company, 1971.
- [2] Box G.E.P., G.M. Jenkins: Time series analysis, forecasting and control, Halden-Bay, San Francisco, 1970.
- [3] Eagelson P.S.: Hydrologia dynamiczna, PWN, Warszawa, 1978.

A ONE - DIMENSIONAL MODEL OF SUSPENDED LOAD TRANSPORT DURING A RIVER FLOW RISE

S u m m a r y

A mathematical model of the suspended load transport in open channel during a flow rise is presented in this paper. The model procedures have been described, as well as a numerical example based on a flow rise observed in the Vistula River.

ОДНОМЕРНАЯ МОДЕЛЬ ИЗМЕНЕНИЙ СОДЕРЖАНИЯ ВЗВЕШЕННЫХ ВЕЩЕСТВ В РЕКЕ В ПЕРИОД ПОЛОВОДЬЯ

Р е з ю м е

В работе представлена математическая модель изменения содержания взвешенных веществ в реке в период половодья. Описаны процедуры расчёта а также представлен цифровой пример основанный на наблюдении половодья на реке Висле.